

**OPTIMASI PARAMETER *SUPPORT VECTOR MACHINE* (SVM)  
*CLASSIFIER* MENGGUNAKAN *FIREFLY ALGORITHM* (FFA)  
*OPTIMIZATION* UNTUK KLASIFIKASI MRI TUMOR OTAK**

**SKRIPSI**



**UIN SUNAN AMPEL  
S U R A B A Y A**

Disusun Oleh  
**DEWI WAHYUNI**  
**H02216003**

**PROGRAM STUDI MATEMATIKA  
FAKULTAS SAINS DAN TEKNOLOGI  
UNIVERSITAS ISLAM NEGERI SUNAN AMPEL  
SURABAYA**

**2019**

## PERNYATAAN KEASLIAN

Saya yang bertanda tangan di bawah ini,

Nama : DEWI WAHYUNI

NIM : H02216003

Program Studi : Matematika

Angkatan : 2016

Menyatakan bahwa saya tidak melakukan plagiat dalam penulisan skripsi saya yang berjudul " Optimasi Parameter *Support Vector Machine (SVM) Classifier* Menggunakan *Firefly Algorithm (FFA) Optimization* untuk Klasifikasi MRI Tumor Otak ". Apabila suatu saat nanti terbukti saya melakukan tindakan plagiat, maka saya bersedia menerima sanksi yang telah ditetapkan.

Demikian pernyataan keaslian ini saya buat dengan sebenar-benarnya.

Surabaya, 23 Desember 2019

Yang menyatakan,

A 3000 Rupiah postage stamp with a signature over it. The stamp features the Garuda Pancasila emblem and the text "METERAI TEMPEL", "45C35AHF16370114", "3000", and "TIGA RIBU RUPIAH".

DEWI WAHYUNI

NIM. H02216003

## LEMBAR PERSETUJUAN PEMBIMBING

Skripsi oleh

Nama : DEWI WAHYUNI

NIM : H02216003

Judul Skripsi : Optimasi Parameter *Support Vector Machine* (SVM)  
*Classifier* Menggunakan *Firefly Algorithm* (FFA)  
*Optimization* untuk Klasifikasi MRI Tumor Otak

telah diperiksa dan disetujui untuk diujikan.

Surabaya, 23 Desember 2019

Pembimbing



Nurissaidah Ulinuha, M.Kom

NIP. 199011022014032004

## PENGESAHAN TIM PENGUJI SKRIPSI

Skripsi oleh

Nama : DEWI WAHYUNI  
NIM : H02216003  
Judul Skripsi : Optimasi Parameter *Support Vector Machine* (SVM) Classifier Menggunakan *Firefly Algorithm* (FFA) Optimization untuk Klasifikasi MRI Tumor Otak

Telah dipertahankan di depan Tim Penguji  
pada tanggal

Mengesahkan,  
Tim Penguji

Penguji I



Nurissaidah Ulinuha, M.Kom  
NIP. 199011022014032004

Penguji II



Dian C. Rini Novitasari, M.Kom  
NIP. 198511242014032001

Penguji III



Aris Fanani, M.Kom  
NIP. 198701272014031002

Penguji IV



Putroge Keumala Intan, M.Si  
NIP. 198805282018012001

Mengetahui,  
Dekan Fakultas Sains dan Teknologi  
UIN Sunan Ampel Surabaya



  
Dr. Eni Purwati, M.Ag  
NIP. 196512211990022001



KEMENTERIAN AGAMA  
UNIVERSITAS ISLAM NEGERI SUNAN AMPEL SURABAYA  
PERPUSTAKAAN

Jl. Jend. A. Yani 117 Surabaya 60237 Telp. 031-8431972 Fax.031-8413300  
E-Mail: perpus@uinsby.ac.id

LEMBAR PERNYATAAN PERSETUJUAN PUBLIKASI  
KARYA ILMIAH UNTUK KEPENTINGAN AKADEMIS

Sebagai sivitas akademika UIN Sunan Ampel Surabaya, yang bertanda tangan di bawah ini, saya:

Nama : DEWI WAHYUNI  
NIM : H02216003  
Fakultas/Jurusan : ~~LAINNYA~~ MATEMATIKA  
E-mail address : DEWI WAHYUNI 544 @ GMAIL.COM

Demi pengembangan ilmu pengetahuan, menyetujui untuk memberikan kepada Perpustakaan UIN Sunan Ampel Surabaya, Hak Bebas Royalti Non-Eksklusif atas karya ilmiah :

Skripsi  Tesis  Desertasi  Lain-lain (.....)  
yang berjudul :

OPTIMASI PARAMETER SUPPORT VECTOR MACHINE (SVM) CLASSIFIER  
MENGUNAKAN FIREFLY ALGORITHM (FFA) OPTIMIZATION UNTUK  
KELASIFIKASI MRI TUMOR OTAK.

beserta perangkat yang diperlukan (bila ada). Dengan Hak Bebas Royalti Non-Eksklusif ini Perpustakaan UIN Sunan Ampel Surabaya berhak menyimpan, mengalih-media/format-kan, mengelolanya dalam bentuk pangkalan data (database), mendistribusikannya, dan menampilkan/mempublikasikannya di Internet atau media lain secara *fulltext* untuk kepentingan akademis tanpa perlu meminta ijin dari saya selama tetap mencantumkan nama saya sebagai penulis/pencipta dan atau penerbit yang bersangkutan.

Saya bersedia untuk menanggung secara pribadi, tanpa melibatkan pihak Perpustakaan UIN Sunan Ampel Surabaya, segala bentuk tuntutan hukum yang timbul atas pelanggaran Hak Cipta dalam karya ilmiah saya ini.

Demikian pernyataan ini yang saya buat dengan sebenarnya.

Surabaya, 31 DESEMBER 2019

Penulis

( DEWI WAHYUNI )  
nama terang dan tanda tangan



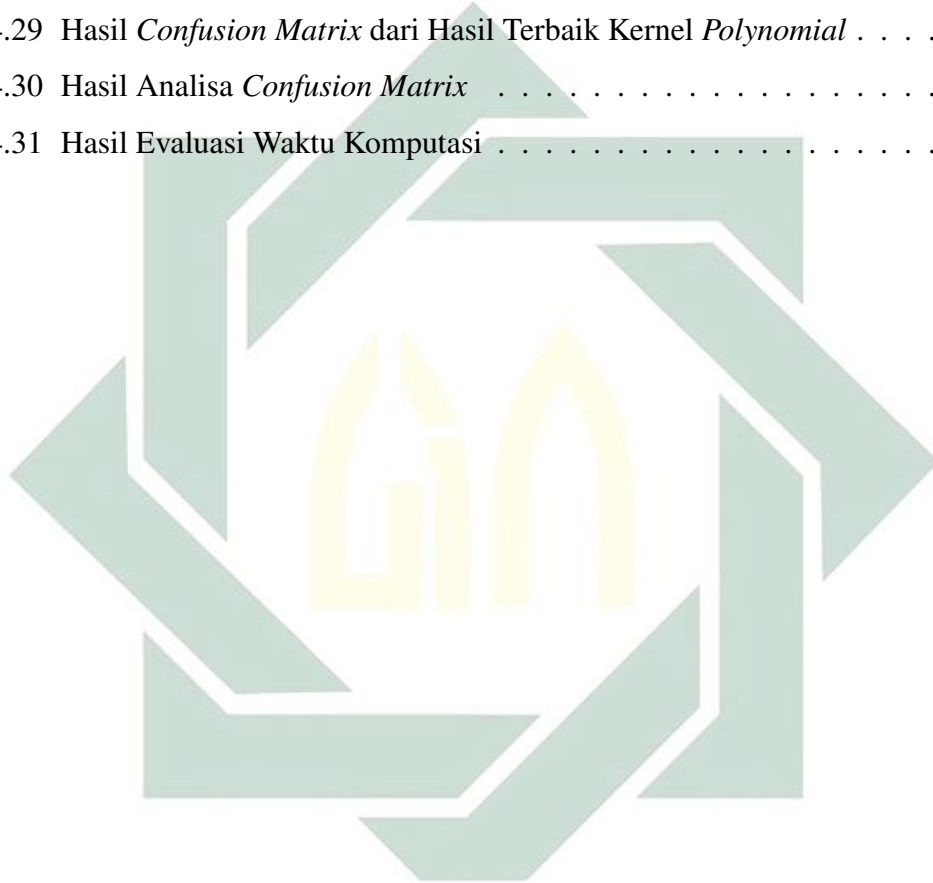






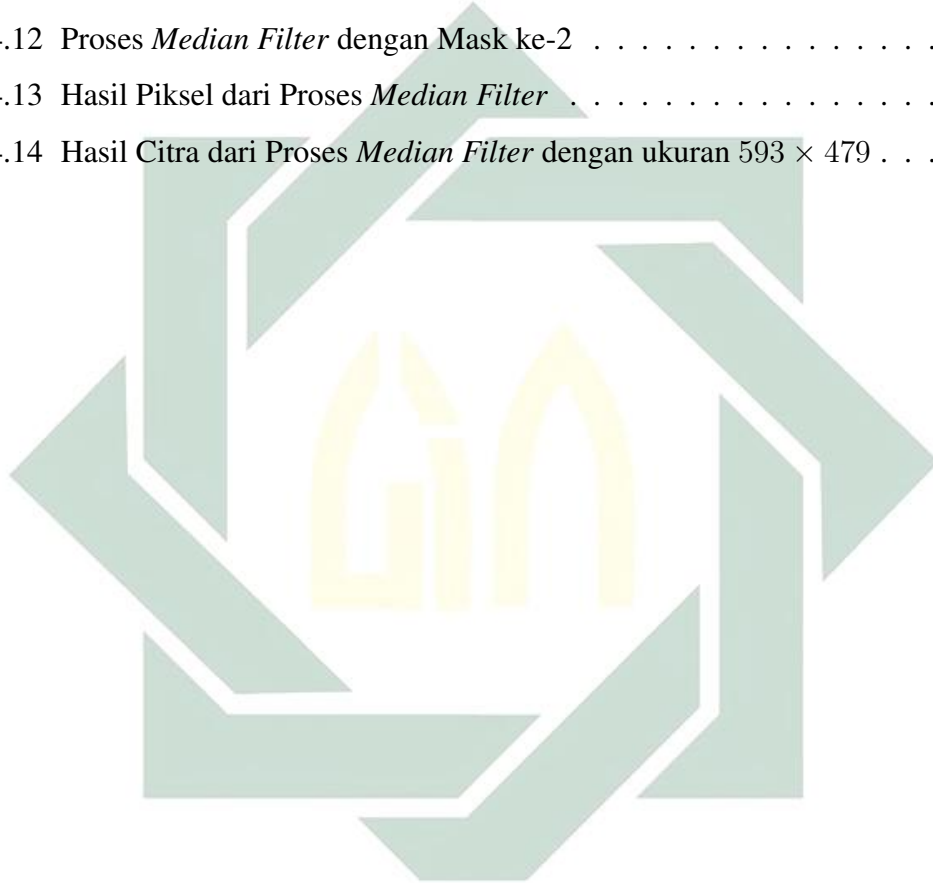


4.25	Nilai Parameter $C$ dan $\gamma$ pada Kernel RBF dan Sudut Orientasi GLCM	95
4.26	Nilai Parameter $C$ , $\gamma$ , dan $r$ pada Kernel <i>Sigmoid</i> dan Sudut Orientasi GLCM	96
4.27	Nilai Parameter $C$ , $\gamma$ , $r$ , dan $d$ pada Kernel <i>Polynomial</i> dan Sudut Orientasi GLCM	97
4.28	Hasil <i>Confusion Matrix</i> dari Hasil Terbaik Kernel RBF	99
4.29	Hasil <i>Confusion Matrix</i> dari Hasil Terbaik Kernel <i>Polynomial</i>	99
4.30	Hasil Analisa <i>Confusion Matrix</i>	101
4.31	Hasil Evaluasi Waktu Komputasi	102





4.7	Perhitungan Perkalian Hasil Transformasi dengan Nilai Rentang Maksimal pada Citra <i>Grayscale</i> . . . . .	64
4.8	Hasil Piksel dari Proses <i>Histogram Equalization</i> . . . . .	65
4.9	Hasil Citra Proses <i>Histogram Equalization</i> dengan ukuran $593 \times 479$	66
4.10	Penambahan Padding untuk Proses <i>Median Filter</i> . . . . .	66
4.11	Proses <i>Median Filter</i> dengan Mask ke-1 . . . . .	67
4.12	Proses <i>Median Filter</i> dengan Mask ke-2 . . . . .	67
4.13	Hasil Piksel dari Proses <i>Median Filter</i> . . . . .	68
4.14	Hasil Citra dari Proses <i>Median Filter</i> dengan ukuran $593 \times 479$ . . .	68







penurunan kualitas hidup penderitanya, mengakibatkan beban sosial dan ekonomi bagi negara, keluarga, dan masyarakat. tumor otak juga menjadi tumor dengan tingkat keganasan kedua setelah tumor darah (leukemia) (Heranurweni, Destyningtias, dan Nugroho, 2018). Menurut perkiraan *American Cancer Society*, khusus untuk remaja dan anak-anak, tumor otak telah melampaui leukemia dan menjadi pembunuh terbesar (Lang, Zhao, and Jia , 2016).

Otak merupakan salah satu organ yang berperan penting dalam tubuh manusia. Seluruh pergerakan tubuh maupun interpretasi informasi sensorik dikoordinir dan diatur oleh otak. Otak terdiri lebih dari 100 miliar saraf yang saling terhubung, yang disebut sinapsis. Komponen kompleks utama dalam sistem saraf pusat yaitu otak. Satu per lima puluh dari berat badan otak terletak di rongga tengkorak. Otak ditutupi dan dilindungi oleh tulang *Cranial*, *Meninges*, dan *Cerebro Spinal Fluid*. Fungsi otak akan terganggu jika terdapat tumor yang dapat mematikan fungsi saraf di dalam otak (Karuna and Joshi, 2013).

Tumor otak atau neoplasma intrakranial merupakan pertumbuhan tidak normal atau multipliksi jaringan otak. Tumor otak dapat menghancurkan sel-sel otak dan meningkatkan peradangan di otak (Kumari and Saxena, 2018). Tumor otak terbagi menjadi dua jenis, yaitu tumor otak jinak dan tumor otak ganas. Tumor otak jinak merupakan sel yang tumbuh tidak normal di otak, namun kurang memiliki kemampuan menyebar ke bagian tubuh lainnya. Sedangkan tumor otak ganas dapat disebut sebagai kanker otak. Tumor otak jenis ini dapat dibedakan menjadi dua bagian lagi, yaitu tumor primer yang mulai tumbuh di otak dan tumor sekunder yang dapat disebut tumor metastatis otak yang menyebar ke bagian lain dari tubuh (Benson, et al., 2016).

Faktor resiko yang dapat menyebabkan terjadinya tumor otak merupakan

suatu hal yang tidak pasti. Studi terus mencari penyebab tumor otak, tetapi hasilnya belum konklusif. Namun, terdapat banyak tren yang didapatkan oleh para peneliti, yaitu usia, jenis kelamin, geografi, pengaruh lingkungan, dan pola perilaku. Selain tren tersebut, penelitian juga memeriksa banyak faktor yang dapat menyebabkan tumor otak, yaitu pengaruh herediter dan genetik, radiasi pengion, paparan infeksi, virus, dan alergi, cedera dan kejang kepala, bahan kimia, diet, medan elektromagnetik telepon seluler dan frekuensi radio, ataupun polusi udara (National Brain Tumor Foundation).

Pencitraan memiliki peranan penting dalam mendiagnosis penyakit tumor otak. *Magnetic Resonance Imaging (MRI)* dan *Computed Tomography (CT)* merupakan pencitraan yang digunakan untuk mendiagnosis penyakit tumor otak. MRI merupakan teknik medis yang lebih disukai daripada CT. Hal ini dikarenakan MRI memberikan gambar yang lebih rinci dari tumor otak (Sehgal, et al., 2016). Dalam banyak kasus yang terjadi, CT menggunakan sinar radiasi pengion, sementara MRI tidak. Sinar ini dapat memberikan radiasi berbahaya jika ada paparan berulang. Selain itu, diagnosis tumor otak pada stadium lanjut sangat penting untuk menyelamatkan hidup seseorang. Deteksi tumor juga harus memiliki kecepatan dan akurasi yang tinggi, sehingga teknik medis yang memungkinkan adalah MRI (Mathew and Anto, 2017).

Deteksi dini tumor otak pada MRI sangat penting untuk mengetahui penanganan selanjutnya pada pasien. Namun, Kemampuan ahli saraf sangat bervariasi dan terbatas pada beberapa tanda-tanda ketidaknormalan awal. Masalah lain yaitu kecerahan dan kontras layar tampilan akan memengaruhi hasil segmentasi. Oleh sebab itu, diperlukan pengembangan metode yang dapat mendeteksi tumor pada MRI otak untuk pengobatan yang tepat pada waktu yang



awal. Sebelum mendeteksi penyakit tumor pada MRI otak, diperlukan pemrosesan terhadap citra untuk mengetahui secara jelas ciri penyakit pada MRI otak.

Proses terhadap citra dinamakan dengan *pre-processing*. *Pre-processing* memiliki beberapa tahap diantaranya *grayscale image*, *filtering*, dan *histogram equalization*. Data citra akan lebih mudah diproses ketika data tersebut berupa data numerik. Oleh sebab itu, perlu dilakukan ekstraksi fitur untuk membuat data numerik dari citra tersebut. Dalam penelitian ini metode yang digunakan untuk ekstraksi fitur adalah *Gray Level Co-Occurrence Matrix (GLCM)*. GLCM merupakan metode ekstraksi fitur yang berbasis tekstur pada citra *grayscale*. Metode ini sangat cocok digunakan untuk proses klasifikasi terhadap perbedaan tekstur atau bentuk suatu citra. Penelitian yang dilakukan oleh Sonu Suhag dan L. M. Saini dalam papernya tentang deteksi tumor otak menggunakan metode GLCM sebagai ekstraksi fitur dan SVM sebagai metode klasifikasinya. Beliau mengatakan dalam mengekstraksi fitur sebuah citra *grayscale*, metode yang terbaik adalah GLCM karena dapat dengan mudah mengenali perbedaan tiap karakteristik citranya. Penelitian ini cukup memiliki hasil yang bagus dengan akurasi 94% (Suhag and Saini, 2015).

Tahap selanjutnya yaitu pengklasifikasian pada citra MRI otak. Tahap ini digunakan untuk menentukan penyakit tumor otak. Hasil ekstraksi fitur dari GLCM menjadi inputan awal dari proses ini. Pada proses klasifikasi sendiri, data akan dibagi menjadi dua bagian yakni data training dan data testing. Metode klasifikasi yang dipilih adalah *Support Vector Machines (SVM)*. SVM merupakan teknik klasifikasi dengan menemukan *hyperplane* terbaik yang memisahkan data d-dimensional menjadi dua atau lebih kelas menggunakan konsep ruang fitur yang diinduksi kernel. SVM memiliki strategi yang berbeda dengan strategi *neural*

*network*. *Neural network* berusaha mencari *hyperplane* pemisah antar kelas, sedangkan SVM berusaha untuk menemukan *hyperplane* terbaik pada *input space*. SVM berdasar pada prinsip *linear classifier* yang kemudian dikembangkan untuk menyelesaikan masalah *nonlinear* dengan memasukkan konsep *kernel trick* pada ruang kerja berdimensi tinggi (Adinegoro, Atmaja dan Purnamasari, 2015). SVM merupakan metode yang baik untuk analisis dan klasifikasi data. Klasifikasi SVM memiliki kecepatan belajar cepat bahkan dalam data besar. Selain itu SVM juga memiliki akurasi yang tinggi dan tingkat kesalahan yang relatif kecil (Harafani dan Wahono, 2015).

SVM merupakan metode yang memiliki cukup banyak keunggulan. Namun hal tersebut juga memungkinkan SVM memiliki kekurangan. Kekurangan dari metode klasifikasi SVM terletak pada penentuan nilai parameter yang optimal. Karena, jika nilai parameter jauh dari optimal, SVM yang dihasilkan tidak akan bekerja secara efektif. Oleh karena itu perlu adanya algoritma optimasi untuk mengoptimalkan parameter SVM, seperti algoritma metaheuristik, yang menggunakan *tradeoff* antara pengacakan dan pencarian lokal (Sharma, et al., 2013). Beberapa algoritma optimasi yang direkomendasikan oleh peneliti dunia diantaranya *Particle Swarm Optimization* (PSO), *Genetic Algorithm* (GA), dan *Firefly Algorithm* (FFA). Dari ketiga algoritma tersebut, FFA merupakan algoritma optimasi yang memberikan hasil optimasi terbaik (Yang, 2009). Dengan demikian, dalam penelitian ini, SVM ditingkatkan dengan bantuan salah satu algoritma metaheuristik yang baru dikembangkan, algoritma *Firefly Algorithm* (FFA).

Penemuan algoritma *Firefly* terjadi akhir-akhir ini pada tahun 2007 oleh Dr. Xin-She Yang. Pendekatan menggabungkan FFA dengan SVM adalah bahwa perilaku kunang-kunang dapat dirumuskan untuk membentuk fungsi objektif, yang

dapat membantu mengoptimalkan parameter SVM. Dengan algoritma *Firefly*, ditetapkan bahwa semakin banyak perbandingan antara kunang-kunang untuk menemukan lokasi terbaik di kawanan, maka semakin baik hasilnya. Perbandingan ini didasarkan pada intensitas cahaya kunang-kunang. Konsep ini memanfaatkan fakta bahwa, dengan lebih banyak kecerahan kunang-kunang, lebih banyak daya tarik dengan kunang-kunang lainnya, yang mengurangi jarak di antara mereka. Dengan demikian, semakin pendeknya jarak kumpulan kunang-kunang dapat menemukan posisi terbaik, yang juga memberikan nilai parametrik terbaik yang dapat dimasukkan sebagai input ke pengklasifikasi (Al-Shammari, et al., 2015).

Penelitian yang dilakukan oleh Oluoyinka Aderemi Adewumi dan Ayobami Andronicus Akinyelu menunjukkan bahwa dalam klasifikasi pengelabuan email dengan optimasi SVM menggunakan algoritma FFA memberikan hasil akurasi yang sangat tinggi, yaitu 99,98%. Hasil ini mengungkapkan bahwa kinerja keseluruhan FFA-SVM mengungguli SVM standar (Adewumi and Akinyelu, 2016). Berdasarkan penelitian tersebut, maka dilakukan penelitian menggunakan *Firefly Algorithm (FFA) Optimization* dan *Support Vector Machine (SVM) Classifier* sehingga bisa mendapatkan hasil yang maksimal untuk deteksi dini penyakit tumor otak. Sesuai dengan ajaran Islam, bahwasannya dalam memberikan pelayanan, baik pelayanan dari usaha barang ataupun jasa seharusnya diberikan dengan pelayanan terbaik dan berkualitas. Hal ini telah difirmankan oleh Allah pada Al-Qur'an surah Al-Baqarah ayat 267, yang artinya "*Hai orang-orang yang beriman, nafkahkanlah (di jalan Allah) sebagian dari hasil usahamu yang baik-baik dan sebagian dari apa yang kamu keluarkan dari bumi untuk kamu dan janganlah kamu memilih yang buruk-buruk lalu kamu nafkahkan darinya padahal kamu sendiri tidak mau mengambilnya melainkan dengan memicingkan mata*





## 1.6. Sistematika Penulisan

### **BAB I PENDAHULUAN**

Bab ini berisi tentang penjelasan mengenai permasalahan apa saja yang menjadi latar belakang dilakukannya penelitian, yaitu banyaknya kematian di dunia akibat penyakit tidak menular seperti tumor otak yang terus bertambah dan kemampuan ahli saraf yang sangat bervariasi dan terbatas untuk menentukan diagnosa dari hasil pencitraan medis. Selain itu pada bagian ini juga menjelaskan mengenai pemilihan dan gambaran singkat metode *preprocessing*, *GLCM*, *Firefly Optimization*, dan *SVM Classifier* yang digunakan untuk pengolahan citra medis dalam klasifikasi penyakit tumor otak, rumusan masalah, tujuan penelitian, manfaat penelitian, batasan masalah, dan sistematika penulisan.

### **BAB II DASAR TEORI**

Bab ini berisi tentang teori-teori yang memiliki keterkaitan dan mendukung penyelesaian masalah dalam penelitian ini. Tinjauan pustaka terkait topik yang digunakan yaitu teori tentang tumor, tumor otak, citra digital, pengolahan citra digital, *Firefly Algorithm (FFA)*, *Support Vector Machine (SVM)*, dan pengukuran kerja klasifikasi.

### **BAB III METODE PENELITIAN**

Bab ini berisi tentang cara melaksanakan penelitian yang dimulai dari bagaimana proses mendapatkan data dan mengolah data sedemikian sehingga rumusan masalah dapat terselesaikan. Bab ini biasanya terdiri dari waktu pelaksanaan penelitian, jenis penelitian, pengumpulan data, teknik analisis data, dan pengujian serta evaluasi sistem.









1. *Cerebrum* mengendalikan pikiran, pembelajaran, penyelesaian masalah, emosi, ucapan, membaca, menulis, dan gerakan sukarela.
2. Otak kecil mengendalikan gerakan, keseimbangan, dan postur.
3. Batang otak menghubungkan otak ke sumsum tulang belakang, dan mengontrol pernapasan, detak jantung, dan saraf serta otot yang digunakan untuk melihat, mendengar, berjalan, berbicara, dan makan.

Tumor otak atau neoplasma intrakranial merupakan pertumbuhan tidak normal atau multiplikasi jaringan otak. Tumor otak dapat menghancurkan sel-sel otak dan meningkatkan peradangan di otak, sehingga mengganggu fungsi otak (Kumari and Saxena, 2018). Tumor otak disebabkan oleh faktor genetik, yaitu adanya ketidaknormalan gen yang mengontrol pertumbuhan sel otak. Penyebab ketidaknormalan ini adalah gangguan pada kromosom atau kelainan yang langsung mengenai gen. Tumor terbagi menjadi tingkat 1 hingga 4 secara garis besar dikelompokkan menjadi dua jenis tumor otak, yaitu tumor otak jinak (tingkat 1 dan 2) dan tumor otak ganas (tingkat 3 dan 4). Pengelompokan ini didasarkan oleh sifat dari tumor otak (Benson, et al., 2016).

Tumor otak jinak merupakan jenis tumor otak yang paling tidak agresif. Tumor ini berasal dari sel-sel yang berada di sekitar atau dalam otak, tidak mengandung sel kanker, pertumbuhannya lambat, dan biasanya memiliki batasan jelas yang tidak menyebar ke jaringan lain. Jika tumor ini dapat diangkat seluruhnya, tumor cenderung tidak tumbuh kembali. Namun, dapat menyebabkan gejala neurologis yang signifikan tergantung pada ukurannya, dan lokasi di dekat struktur lain di otak. Beberapa tumor jinak dapat berkembang menjadi ganas. Terdapat sel kanker pada tumor ganas dan seringkali tidak memiliki batas yang jelas. Tumor otak ganas dianggap mengancam jiwa karena tumor tumbuh dengan







anggota tubuh, gangguan kesadaran, dan lain sebagainya (Heranurweni, Destyningtias, dan Nugroho, 2018).

Diagnosis atau deteksi tumor otak didasarkan pada gambaran klinis, tanda peninggian tekanan intra kranial dan manifestasi neurologis fokal, dan pemeriksaan menunjang. Langkah-langkah yang dilakukan setelah anamnesis dan pemeriksaan umum yaitu:

- a. Pemeriksaan neurologis meliputi kesadaran, pemeriksaan syaraf kranial, tonus otot, kekuatan otot, pemeriksaan refleks tendon dalam dan superfisial baik yang fisiologis maupun patologis, pemeriksaan sensibilitas, koordinasi, gangguan gerak (*involunter movement*, ataxia).
- b. *Computed Tomography Scan (CT-Scan)* yang merupakan pemeriksaan menggunakan sinar-X dan dengan penggunaan komputer yang akan menghasilkan gambar organ-organ tubuh manusia.
- c. *Magnetic Resonance Imaging (MRI)*.

MRI otak adalah teknik pencitraan standar untuk tumor otak. MRI merupakan perangkat pemindaian yang menggunakan medan magnet dan komputer untuk menangkap gambar otak pada film. Dalam pemeriksaannya, MRI tidak menggunakan sinar-X. MRI memungkinkan dokter untuk membuat citra tumor tiga dimensi. MRI mendeteksi sinyal yang dipancarkan dari jaringan normal dan abnormal, memberikan gambar yang jelas dari sebagian besar tumor (National Brain Tumor Foundation). Dalam laporan MRI, daerah yang terdeteksi kanker memiliki piksel intensitas tinggi dan jaringan normal memiliki piksel intensitas rendah seperti pada Gambar 2.4 (Murthy and G.Sadashivappa, 2014).



terhadap tumor otak.

Tata laksana tumor memerlukan kerjasama tim yang terdiri dari dokter anak, syaraf anak, radiologi, bedah syaraf, dan radioterapi. Selain itu juga terdapat tindakan operatif untuk mengangkat tumor, radiotrapi untuk mematikan sel secara selektif, dan pemberian kemotrapi (Estlin and Lewis, 2005).

### 2.3. Citra Digital

Citra merupakan hasil dari proses sampling berupa gambar dua dimensi. Gambar tersebut adalah gambar yang dihasil dari gambar analog kontinu menjadi gambar diskrit. Gambar analog terbagi menjadi kumpulan matriks yang terdiri dari  $N$  baris dan  $M$  kolom. Hubungan antara baris dan kolom tertentu merepresentasikan suatu piksel. Sebagai contoh piksel  $[n, m]$  merepresentasikan titik diskrit pada baris  $n$  dan kolom  $m$  (Tim Dosen, 2016).

Citra digital merupakan citra yang dapat diolah dengan komputer digital. Citra digital disusun oleh elemen-elemen yang disebut piksel. Kumpulan piksel direpresentasikan oleh indeks baris dan kolom  $(x, y)$  dengan bilangan bulat dalam struktur dua dimensi.  $x$  dan  $y$  adalah koordinat spasial dari  $f$  dalam fungsi  $f(x, y)$ . Nilai  $f$  menunjukkan *brightness* atau *grayness level* dari suatu citra pada titik tersebut. Suatu citra digital dapat direpresentasikan dalam format  $f(x, y) = f(N, M)$  dengan  $0 \leq x \leq N - 1$  dan  $0 \leq y \leq M - 1$ . Kemudian kedua faktor tersebut dinyatakan dengan nilai  $L$  yang merupakan nilai maksimal warna intensitas dengan ketentuan  $L = 0 \leq f(x, y) \leq L - 1$ . Citra digital dibagi dalam tiga jenis, yaitu citra *grayscale*, citra biner, dan citra warna (Tim Dosen, 2016).

Citra *grayscale* yaitu citra dengan skala keabuan yang memiliki nilai



intensitas maksimal 255 berwarna putih hingga warna hitam dengan nilai intensitas minimal 0. Citra biner adalah citra yang hanya memiliki dua nilai derajat keabuan, yaitu 0 dan 1 sebagai representasi dari putih dan hitam. Piksel yang bernilai 1 merupakan piksel objek, dan piksel yang bernilai 0 adalah latar belakang. Sedangkan citra warna atau yang biasa disebut citra RGB yaitu jenis citra yang merepresentasikan warna dalam komponen R (merah), G (hijau), dan B (biru). Setiap warna menggunakan 8 bit (nilainya berkisar dari 0 hingga 255). Oleh karena itu kemungkinan warna yang dapat disajikan adalah  $255 \times 255 \times 255$  (Wahyudi, Triyanto, dan Ruslianto, 2017). Citra digital dapat direpresentasikan dalam suatu fungsi  $f(x, y)$ .  $x$  adalah koordinat posisi dengan  $0 \leq x \leq M$ , dan  $y$  adalah koordinat posisi dengan  $0 \leq y \leq N$ , dimana  $M$  merupakan lebar citra, dan  $N$  adalah tinggi citra. Sedangkan  $f$  merupakan fungsi citra digital, dimana  $0 \leq f \leq L$ , dengan  $L$  sebagai derajat keabuan citra (Tim Dosen, 2016).

## **2.4. Pengolahan Citra Digital**

Pada proses pengklasifikasian citra medik, perlu dilakukan teknik pengolahan citra untuk mendapatkan hasil yang akurat. Tahapan-tahapan yang perlu dilakukan pada proses pengolahan citra yaitu *pre-processing*, ekstraksi fitur, dan klasifikasi citra medik.

### **2.4.1. Pre-processing Citra Tumor Otak**

Kualitas citra tumor otak yang telah diperoleh belum memenuhi standar pengolahan, sehingga tidak dapat digunakan secara langsung. Penyebaran intensitas pada citra tersebut masih kurang merata akibat pencahayaan dan kontras yang lemah. Oleh karena itu perlu dilakukan perbaikan atau peningkatan kualitas citra untuk memudahkan pemisahan objek dengan latar belakang pada citra.









Gambar 2.7 merupakan proses dari *median filter* dengan *sliding window*  $3 \times 3$ . Nilai piksel pada *sliding window* diurutkan menjadi 115, 119, 120, 123, 124, 125, 126, 127, 150. Dari hasil pengurutan, diperoleh nilai *median* 124. Nilai *median* ini digunakan untuk menggantikan nilai pusat *sliding window*. Oleh karena itu nilai 150 diganti menjadi 124 (Maulana, dkk., 2016).

#### 2.4.2. Ekstraksi Fitur Citra Tumor Otak

Fitur adalah informasi khusus pada citra. Dengan adanya fitur, peneliti dapat menentukan karakteristik dari sebuah citra sehingga citra tersebut dapat diklasifikasi dengan benar berdasarkan karakteristik yang didapat (Ahmad, 2005). Citra memiliki beberapa elemen di dalamnya sebagai bentuk karakteristik suatu citra. Elemen-elemen tersebut diantaranya yaitu kecerahan, kontras, kontur, warna, bentuk, dan tekstur. Ekstraksi fitur adalah langkah utama yang spesifik dalam proses analisis tekstur dan menghasilkan perhitungan fitur tekstur dari ROI yang telah ditentukan. Banyak pendekatan yang diusulkan untuk mengukur tekstur citra, salah satunya yang paling populer dan sukses digunakan untuk mengkarakterisasi jaringan MRI yaitu GLCM (*Gray Level Co-Occurrence Matrix*) yang diperkenalkan oleh Haralick pada tahun 1979 (Larroza, Bodi, and Moratal, 2016). Dalam analisis tekstur, fitur tekstur dihitung melalui distribusi statistik dari kombinasi intensitas yang diamati. Menurut jumlah titik intensitas (piksel) dalam setiap kombinasi, statistik dibedakan menjadi statistik orde satu, orde dua, dan orde lebih tinggi. GLCM merupakan teknik ekstraksi fitur tekstur orde dua, yang berarti GLCM mempertimbangkan hubungan antara kelompok dua piksel dalam citra asli (Mohanaiah, Sathyanarayana, and GuruKumar, 2013).

Hubungan spasial antara dua piksel tetangga dapat ditemukan dengan banyak cara melalui *offset* dan sudut berbeda, umumnya melalui piksel dan















pada penggunaan data data pelatihan dan data pengujian secara berulang kali sebanyak  $K$  kali. Dalam metode ini, kumpulan data dibagi menjadi  $k$  lipatan. Proses *training* digunakan dengan  $k - 1$  *folds*. Untuk menghitung nilai eror klasifikasi digunakan data testing pada *fold* yang tersisa (Bengio and Grandvalet, 2004). Pada *K-fold Cross Validation* proses dilakukan secara acak sehingga akurasi rata-rata yang dihasilkan dari metode ini pada data set tidak konstan. Oleh karena itu, dampak dari prngacakan ini dapat diatasi dengan bias dan varians. Bias estimasi akurasi akan lebih kecil jika jumlah *folds* sebanyak lima atau sepuluh. Empat faktor yang mempengaruhi akurasi dari *K-fold Cross Validation* (Wong, 2015):

1. Jumlah *folds*
2. Jumlah *instance* dalam satu lipatan
3. Tingkat rata-rata
4. Pengulangan *K-fold Cross Validation*

## 2.6. *Firefly Algorithm* (FFA)

*Firefly* merupakan algoritma metaheuristik yang digunakan untuk optimasi. Algoritma metaheuristik biasanya terinspirasi oleh alam dengan banyak agen yang berinteraksi. Sekelompok metaheuristik biasanya disebut dengan algoritma berbasis *Swarm Intelligence* (SI). Algoritma ini telah berkembang dengan menirukan karakteristik dari SI seperti burung, ikan, manusia, maupun lainnya. Dalam dekade terakhir, banyak algoritma baru yang muncul dari sekelompok metaheuristik berbasis SI, seperti *Particle Swarm Optimization* (PSO), *Differential Evolution*, *Bat Algorithm*, *Firefly Algorithm*, dan *Cuckoo Search*. Seluruh

algoritma tersebut dapat menunjukkan kinerjanya yang baik dalam menyelesaikan masalah optimasi rekayasa yang sulit. Namun, dari jajaran algoritma tersebut, *Firefly* (FFA) merupakan algoritma yang sangat efisien dalam menangani masalah optimasi global multimodal. Intensitas cahaya pada kunang-kunang tergantung dari jarak mata yang melihatnya. Cahaya akan semakin besar jika jarak antara kunang-kunang semakin dekat, begitupun sebaliknya (Yang and He, 2013).

FFA merupakan suatu algoritma yang terinspirasi dari perilaku kunang-kunang. Kunang-kunang merupakan serangga yang menghasilkan cahaya pendek dan berirama hasil dari proses *bioluminescence*. Fungsi dari cahaya ini adalah untuk menarik pasangan dalam berkomunikasi atau menarik mangsa, dan sebagai peringatan terhadap adanya predator. Oleh sebab itu, cahaya pendek ini menjadi faktor kunang-kunang lainnya untuk bergerak menuju ke arah kunang-kunang yang lain yang lebih terang (Ali, Othman, Husain, and Misran, 2014). Tiga aturan sebagai algoritma dalam FFA, yaitu (Johari, Zain, Mustaffa, and Udin, 2013):

1. Kunang-kunang merupakan kawanan unisex, sehingga satu kunang-kunang akan tertarik pada kunang-kunang lainnya tanpa memandang jenis kelamin mereka.
2. Daya tarik kunang-kunang sebanding dengan tingkat kecerahan, sehingga kunang-kunang yang lebih terang akan menarik kunang-kunang lainnya. Daya tarik akan berkurang jika jarak antara kunang-kunang meningkat. Apabila tidak ada kunang-kunang yang memiliki kecerahan paling cerah, maka kunang-kunang akan bergerak secara acak.
3. Kecerahan kunang-kunang ditentukan oleh fungsi objektif dari permasalahan yang sedang dipertimbangkan. Kecerahan dapat sebanding dengan nilai fungsi objektif jika masalah merupakan kasus maksimalisasi. Namun, kecerahan











## 2.7. *Support Vector Machine (SVM)*

SVM merupakan teknik pembelajaran terawasi yang digunakan untuk menyelesaikan masalah klasifikasi data dan regresi. SVM memiliki kecepatan belajar dalam data yang besar dan dapat mengklasifikasikan dua atau lebih kelas data (Parveen and Singh , 2015). SVM menggunakan teori pembelajaran mesin untuk memaksimalkan akurasi prediktif yang secara otomatis menghindari *over-fit* data. Mesin SVM dapat didefinisikan sebagai sistem yang menggunakan ruang hipotesis fungsi linear dalam ruang fitur dimensi tinggi dengan memasukkan konsep kernel, dilatih dengan algoritma pembelajaran dari teori optimasi yang mengimplementasikan bias pembelajaran dari teori pembelajaran statistik (Jakkula).

*Support Vector Machine (SVM)* diperkenalkan pertama kali oleh Guyon, Boser, dan Vapnik pada tahun 1992 di Annual Workshop on Computational Learning Theory. Konsep dasar SVM yaitu kombinasi harmonis dari teori-teori komputasi yang telah ada, seperti *margin hyperplane*, kernel, dan konsep pendukung lainnya (Nugroho, Witarto, and Handoko, 2003). Berbeda dengan strategi *neural network* yang berusaha mencari *hyperplane* pemisah antar kelas, SVM berusaha menemukan *hyperplane* yang terbaik pada *input space*. *Hyperplane* dikatakan optimal jika jarak antara *hyperplane* dengan data terdekat dari masing-masing kelas sudah optimal (Foeady, Novitasari, and Asyhar, 2018).

SVM telah berhasil diaplikasikan dalam dunia nyata dan secara umum memberikan solusi yang lebih baik dibandingkan dengan metode konvensional, seperti *artificial neural network*. SVM telah terbukti sukses diaplikasikan oleh Vapnik dalam masalah klasifikasi dan estimasi fungsi dengan memisahkan data pelatihan menjadi dua kelas (Adinegoro, Atmaja dan Purnamasari, 2015).





s

$$x_i \cdot w + b = +1 \text{ untuk } H1 \quad (2.34)$$

$$x_i \cdot w + b = -1 \text{ untuk } H2 \quad (2.35)$$

Bidang  $H1$  dan  $H2$  sejajar dengan *hyperplane* utama, maka kedua bidang tersebut disebut sebagai *supporting hyperplane* dengan jarak  $H1$  terhadap *hyperplane* utama adalah  $d^+$  dan jarak  $H2$  terhadap *hyperplane* utama yaitu  $d^-$ . Maka jarak  $H1$  terhadap *hyperplane* utama adalah:

$$d^+ = \|x\| = \sqrt{x'x} = \sqrt{\frac{(1-b)^2}{w'w}} = \frac{1-b}{\|w\|} \quad (2.36)$$

Untuk menghitung jarak  $H2$  terhadap *hyperplane* utama, dapat dihitung dengan meminimalkan  $x'x$  dan memperhatikan persamaan berikut:

$$x_i \cdot w + b \leq -1$$

$$\min x'x + \lambda(w'x + b + 1)$$

Selanjutnya diturunkan untuk mendapatkan nilai minimal

$$\frac{d}{dx} = 0 = 2x + \lambda w = 0$$

$$x = -\frac{\lambda}{2}w$$

Disubstitusikan ke dalam Persamaan 2.35, sehingga diperoleh:

$$-\frac{\lambda}{2}w'w + b = -1$$

$$\lambda = \frac{2(b+1)}{w'w}$$































pertama sebagai data *training* dan bagian kedua sebagai data *testing* dengan menggunakan *k-fold*. Untuk mencapai tujuan dalam penelitian ini, perlu dilakukan langkah-langkah analisis data dengan menggunakan tiga tahapan, yaitu *pre-processing*, ekstraksi fitur menggunakan GLCM dan klasifikasi menggunakan FFA *optimization* dan SVM *classifier*. Langkah awal yang dilakukan adalah perbaikan kualitas citra atau biasa disebut sebagai *pre-processing*. Proses ini dilakukan karena hasil citra otak memiliki intensitas yang berbeda. Proses ini dilakukan dengan beberapa tahapan. Tahap pertama adalah merubah citra menjadi citra *grayscale* untuk mendapatkan ekstraksi fitur statistik dengan metode GLCM. Setelah diubah ke *grayscale*, maka dilakukan perbaikan citra dengan filtering untuk menghilangkan noise pada citra. Setelah itu, dilakukan perataan histogram menggunakan *histogram equalization* untuk peningkatan kontras, sehingga akan mudah diklasifikasi. Selanjutnya dilakukan analisis tekstur menggunakan GLCM untuk mendapatkan fitur tekstur yang akan digunakan sebagai input bagi SVM untuk klasifikasi tumor otak.

### **3.4. Pengujian dan Evaluasi**

Pengujian pertama dilakukan dengan proses *image pre-processing* dengan mengambil citra otak yang selanjutnya dilakukan ekstraksi fitur menggunakan GLCM untuk mendapat analisis tekstur yang akan digunakan sebagai input bagi SVM untuk klasifikasi tumor otak atau kondisi normal. Setelah dilakukan klasifikasi menggunakan FFA dan SVM, digunakan pengukur kerja klasifikator yang meliputi akurasi, sensitifitas, dan sepsitifitas. Dalam mencapai tujuan penelitian ini, perlu langkah-langkah secara urut dan sistematis, adapun Gambar 4.10 merupakan representasi dari diagram alir *flowchart* untuk klasifikasi tumor otak menggunakan metode FFA-SVM. Gambar 4.10 adalah diagram alir *flowchart*



citra MRI dari citra RGB menjadi citra *grayscale* menggunakan Persamaan 2.1. Setelah didapatkan citra *grayscale*, dilakuakn proses filtering dengan menggunakan metode *median filtering* menggunakan Persamaan 2.6. Hasil dari proses filtering digunakan untuk proses selanjutnya, yaitu *histogram equalization* untuk perataan histogram menggunakan Persamaan 2.5. Kemudianj proses selanjutnya adalah ekstraksi fitur (*feature extraction*) menggunakan GLCM.

## 2. Ekstraksi Fitur

Pada proses ini, citra akhir dari proses *histogram equalization* diproses untuk didapatkan data numerik atau statistiknya berdasarkan tekstur citra. Proses ini menggunakan metode GLCM. Fitur yang diambil sebagai data klasifikasi yaitu fitur korelasi, kontras, energi, dan homogenitas. Tahap pertama yang dilakukan adalah menentukan hubungan antar piksel referensi dan tetangga dengan sudut  $\theta$  dan jarak  $d_p = 1$ . Selanjutnya dilakukan perhitungan jumlah *co-occurrence* dalam sebuah matriks. Setelah didaptkan matriks *co-occurrence*, dijumlahkan dengan transposenya dan dilakukan normalisasi menggunakan Persamaan 2.7. Kemudian dihitung nilai korelasi dengan Persamaan 2.11, kontras dengan Persamaan 2.9, energi dengan Persamaan 2.8, dan homogenitas dengan Persamaan 2.10. Nilai-nilai dari fitur GLCM ini akan digunakan sebagai inputan data pada proses klasifikasi.

## 3. Klasifikasi SVM

Tahap ini merupakan tahap proses pengklasifikasian citra MRI otak. Pada tahap ini dilakukan proses *learning* menggunakan *k-fold* dengan  $k = 5$ . Selanjutnya dengan data *training* akan dilakukan proses penemuan model svm untuk proses pada *svm testing*. Proses *learning* pertama dilakukan

dengan menggunakan SVM sederhana tanpa menggunakan pengoptimalan parameter. Nilai akurasi dari proses *learning* pertama akan dilakukan pengoptimalan pada parameter SVM menggunakan FFA dalam proses *learning* kedua. Pengoptimalan parameter svm yang terdiri dari parameter konstanta *margin* dan kernel dengan metode FFA (*firefly algorithm*).

Tahap pertama yang dilakuakn adalah menginisialisasi jumlah *firefly*, maksimal iterasi pada proses FFA, dan parameter dari proses FFA, yang termasuk inisialisasi variabel untuk parameter svm yang akan dioptimalkan. Setelah dilakukan inisialisasi, proses selanjutnya adalah perhitungan nilai fungsi objektif dengan menggunakan Persamaan 2.44. Setelah itu, dilakuakn perangkingan untuk mendapatkan nilai *fitness* pertama yang merupakan *firefly* terbaik. Kemudian dilakukan pergerakan *firefly* menuju *firefly* dengan cahaya paling cerah menggunakan Persamaan 2.29. Selanjutnya dilakukan perhitungan kembali fungsi objektif sampai mendapatkan *firefly* dengan nilai *fitness* terbaik atau sampai iterasi berhenti.

Setelah mendapatkan parameter optimal yang merupakan nilai *fitness* terbaik dari proses FFA, dilakukan proses *training* untuk mendapatkan *hyperplane* optimal, bobot, dan bias pada model SVM. Proses terakhir yaitu menggunakan model svm yang telah didapatkan untuk proses *testing*. Proses *testing* akan menghasilkan hasil dari klasifikasi yang dapat digunakan sebagai perhitungan keakuratan model.





























Tabel 4.1 Area Kerja Matriks dengan ukuran matriks  $8 \times 8$ 

<b>t \ r</b>	<b>1</b>	<b>2</b>	<b>3</b>	<b>4</b>	<b>5</b>	<b>6</b>	<b>7</b>	<b>8</b>
<b>1</b>	(1,1)	(1,2)	(1,3)	(1,4)	(1,5)	(1,6)	(1,7)	(1,8)
<b>2</b>	(2,1)	(2,2)	(2,3)	(2,4)	(2,5)	(2,6)	(2,7)	(2,8)
<b>3</b>	(3,1)	(3,2)	(3,3)	(3,4)	(3,5)	(3,6)	(3,7)	(3,8)
<b>4</b>	(4,1)	(4,2)	(4,3)	(4,4)	(4,5)	(4,6)	(4,7)	(4,8)
<b>5</b>	(5,1)	(5,2)	(5,3)	(5,4)	(5,5)	(5,6)	(5,7)	(5,8)
<b>6</b>	(6,1)	(6,2)	(6,3)	(6,4)	(6,5)	(6,6)	(6,7)	(6,8)
<b>7</b>	(7,1)	(7,2)	(7,3)	(7,4)	(7,5)	(7,6)	(7,7)	(7,8)
<b>8</b>	(8,1)	(8,2)	(8,3)	(8,4)	(8,5)	(8,6)	(8,7)	(8,8)

## 2. Menentukan hubungan spasial antar piksel.

Tabel 4.2 Nilai Hubungan Spasial Antar Piksel

<b>t \ r</b>	<b>1</b>	<b>2</b>	<b>3</b>	<b>4</b>	<b>5</b>	<b>6</b>	<b>7</b>	<b>8</b>
<b>1</b>	69267	2340	132	87	36	52	32	0
<b>2</b>	2336	21546	3688	213	30	78	80	0
<b>3</b>	129	3683	19485	5361	250	32	66	0
<b>4</b>	68	239	5358	22137	5544	240	78	0
<b>5</b>	44	28	261	5559	19861	4156	66	0
<b>6</b>	65	54	32	246	4177	23697	1817	0
<b>7</b>	44	80	55	68	82	1832	24287	1104
<b>8</b>	0	0	0	0	0	0	1178	32074

Hubungan spasial antar piksel ditentukan dengan menentukan ukuran jarak piksel  $d_p$  dan sudut orientasi  $\theta$ . Table 4.2 merupakan hasil hubungan











Tabel 4.7 Nilai Standar Deviasi Kolom

Kolom ke-j	$P(i, j)(j - \mu_j)^2$
1, 1	2.2246
1, 2	0.0336
⋮	⋮
5, 7	0.0021
6, 7	0.0570
⋮	⋮
8, 8	1.7950
<b>Standar Deviasi Kolom</b>	<b>2.4619</b>

Perhitungan standar deviasi kolom tidak jauh berbeda dengan perhitungan standar deviasi baris, yaitu dengan menghitung terlebih dahulu nilai  $P(i, j)(i - \mu_i)^2$  seperti berikut:

$$\begin{aligned}
 i, j &= P(i, j)(j - \mu_j)^2 & i, j &= P(i, j)(j - \mu_j)^2 \\
 5, 7 &= 0.0002(7 - 4.017)^2 & 8, 8 &= 0.1132(8 - 4.017)^2 \\
 5, 7 &= 0.0021 & 8, 8 &= 1.7950
 \end{aligned}$$

dengan 5, 7 menunjukkan nilai dari baris ke lima pada kolom ke tujuh.

Dengan melihat Tabel 4.7, semua nilai  $P(i, j)(i - \mu_i)^2$  dihitung dan kemudian menjumlahkan semua nilai. Oleh karena itu didapatkan nilai standar deviasi  $\sigma_j$ :

$$\begin{aligned}
 \sigma_j &= \sqrt{\sum_{i=1}^N \sum_{j=1}^N P(i, j)(i - \mu_i)^2} \\
 \sigma_j &= \sqrt{2.2246 + 0.0336 + \dots + 0.0021 + 0.0570 + \dots + 1.7950} \\
 \sigma_j &= 2.4619
 \end{aligned}$$





$$\begin{aligned}
\text{Homogenitas} &= \sum_{i=1}^N \sum_{j=1}^N \frac{P(i, j)}{1 + (i - j)^2} \\
&= \frac{0.2444}{1 + (1 - 1)^2} + \frac{0.0083}{1 + (1 - 2)^2} \cdots + \frac{0.0196}{1 + (4 - 5)^2} \\
&\quad + \frac{0.0008}{1 + (4 - 6)^2} + \cdots + \frac{0.1132}{1 + (8 - 8)^2} \\
&= 0.2444 + 0.0041 + \dots + 0.0098 + 0.0002 + \dots + 0.1132 \\
&= 0.9062
\end{aligned}$$

Karena data yang digunakan dalam penelitian ini cukup banyak dan memiliki ukuran matriks piksel yang besar, maka perhitungan dapat dipermudah dengan bantuan *function* pada Python, yaitu dengan *syntax greycomatrix* untuk mendapatkan matriks *co-occurrence* dan *greycoprops* untuk mendapatkan fitur kontras, koreasi, energi, dan homogenitas. Dalam penelitian ini akan dilakukan perbandingan pada setiap sudut orientasi GLCM sebagai data input untuk proses klasifikasi. Berdasarkan 120 data MRI otak yang digunakan, akan ditampilkan hasil ekstraksi fitur dengan sudut orientasi yang berbeda. Data penelitian yang telah diekstraksi fitur dengan menggunakan GLCM sudut orientasi  $\theta = 0^\circ$  dan jarak piksel  $d_p = 1$  ditunjukkan pada Tabel 4.10. 1cmData penelitian yang telah diekstraksi fitur dengan menggunakan GLCM sudut orientasi  $\theta = 45^\circ$  dan jarak piksel  $d_p = 1$  ditunjukkan pada Tabel 4.11. Data penelitian yang telah diekstraksi fitur dengan menggunakan GLCM sudut orientasi  $\theta = 90^\circ$  dan jarak piksel  $d_p = 1$  ditunjukkan pada Tabel 4.12. Data penelitian yang telah diekstraksi fitur dengan menggunakan GLCM sudut orientasi  $\theta = 135^\circ$  dan jarak piksel  $d_p = 1$  ditunjukkan pada Tabel 4.13.





Percobaan ekstraksi fitur dengan metode GLCM pada jarak piksel  $d_p = 1$  dan beberapa sudut orientasi yang berbeda, menghasilkan nilai fitur yang berbeda pula. Oleh sebab itu akan dilakukan percobaan dari setiap sudut orientasi pada proses pemilihan model klasifikasi.

## 4.2. Pemilihan Model dan Proses *Learning*

Penelitian ini menggunakan metode klasifikasi SVM dengan parameter input menggunakan hasil ekstraksi fitur GLCM. Pada SVM sendiri juga terdapat parameter-parameter lain untuk membantu menemukan *hyperplane* terbaik seperti parameter  $C$ ,  $\gamma$ ,  $r$ , dan  $d$ . Parameter-parameter tersebut merupakan parameter kernel yang ditentukan sendiri nilainya oleh peneliti. Pada tahap pertama dilakukan klasifikasi citra MRI otak menggunakan SVM dengan parameter *default*. Kemudian hasil dari klasifikasi SVM dengan parameter *default* akan dibandingkan dengan parameter yang diperoleh dari hasil pengoptimasian menggunakan FFA.

### 4.2.1. Klasifikasi SVM

Proses klasifikasi menggunakan SVM dilakukan dengan tahap pelatihan dan pengujian terhadap citra MRI otak. Tahap pelatihan merupakan tahap untuk mendapatkan model sistem, sedangkan pengujian merupakan tahap untuk menguji keakuratan sistem yang telah didapatkan pada proses pelatihan. Dalam penelitian ini digunakan 120 data MRI otak yang telah diproses dengan metode ekstraksi fitur GLCM untuk mendapatkan data statistik dari citra MRI otak. Data statistik tersebut merupakan data fitur kontras, korelasi, energi dan homogenitas. Empat fitur yang didapatkan dari setiap citra dapat merepresentasikan bentuk citra dan membedakan citra satu dengan yang lainnya. Fitur-fitur tersebut yang digunakan sebagai parameter input untuk proses SVM.















Tabel 4.17 Nilai Acak Populasi *Firefly*

<i>Firefly</i>	1	2	3	4	5	6	7
$x$	777.32	187.29	1526.40	289.53	1606.57	900.90	1505.65
$f(x)/I$	77655	18710	152488	28925	160496	90000	150415

$x$  menunjukkan posisi *firefly* di titik  $x$ , dan  $f(x)$  menunjukkan nilai intensitas cahaya ( $I$ ) pada *firefly* yang dapat dihitung menggunakan Persamaan 2.44 sebagai berikut:

$$f(x) = x_b + (x_a - x_b)g$$

$$f(x_1) = 100 + (1000 - 100)777.32 = 77655$$

$$f(x) = x_b + (x_a - x_b)g$$

$$f(x_2) = 100 + (1000 - 100)187.29 = 18710$$

- Menyortir nilai intensitas cahaya pada *firefly* dari kecil ke besar.

Tabel 4.18 Hasil Penyortiran Nilai Intensitas Cahaya *Firefly*

<b>Sortir <math>I</math></b>	18710	28925	77655	90000	150415	152488	160496
<b><i>Firefly</i></b>	2	4	1	6	7	3	5
<b><math>x</math></b>	187.29	289.53	777.32	900.90	1505.65	1526.40	1606.57

Penyortiran nilai intensitas cahaya *firefly* dilakukan untuk mendapatkan nilai  $f_{best}$  atau *firefly* terbaik. Dalam penelitian ini, kasus yang diselesaikan adalah memaksimalkan nilai akurasi yang dicapai oleh sistem klasifikasi dengan mengoptimalkan nilai parameter SVM. Oleh karena itu, *firefly* dipilih berdasarkan *firefly* dengan tingkat intensitas cahaya terbesar. Nilai  $x$  dari *firefly*



















digunakan. Berbeda dengan percobaan pada kernel RBF, percobaan ini menunjukkan jika semakin banyak nilai iterasi yang ditentukan, maka nilai akurasi yang didapatkan tidak pasti semakin besar. Sedangkan pada data GLCM  $90^\circ$  dan GLCM  $0^\circ$  akurasinya terus meningkat dengan bertambahnya batas iterasi yang ditentukan. Oleh karena itu dapat dikatakan bahwa nilai akurasi yang diperoleh tergantung pada kombinasi parameter  $C$ ,  $\gamma$ , dan  $r$ , dan  $d$ . Nilai akurasi tertinggi dengan kernel *polynomial* diperoleh sebesar 95.83. Akurasi tersebut diperoleh pada proses *learning* menggunakan GLCM dengan sudut orientasi sebesar  $90^\circ$ . Pada akurasi ini, nilai iterasi yang digunakan sebesar 100 iterasi dengan nilai parameter  $C = 1796.125$ ,  $\gamma = 19.765$ ,  $r = 0.0005$  dan  $d = 6.956$ .

Percobaan dari Tabel 4.24 hingga Tabel 4.27 di atas merepresentasikan hasil dari percobaan optimasi parameter SVM dengan metode *firefly* dengan beberapa macam kernel dan sudut-sudut orientasi pada GLCM. Pada tabel 4.24 dan 4.26 menunjukkan nilai akurasi yang sama dari seluruh percobaan, tabel 4.25 menunjukkan nilai akurasi yang semakin meningkat dengan semakin banyaknya iterasi yang digunakan, dan tabel 4.27 menunjukkan bahwa nilai akurasi belum tentu meningkat dengan banyaknya iterasi yang digunakan. Dari hasil keempat tabel tersebut, dapat disimpulkan bahwa nilai akurasi dari sistem dengan pengoptimasian parameter tidak bergantung pada banyaknya iterasi. Nilai akurasi yang diperoleh oleh sistem tergantung pada data yang digunakan, nilai acak *firefly* yang mempengaruhi nilai intensitas cahaya yang maksimal. Oleh karena itu, semua nilai mendekati batas atas yang telah ditentukan. Selain itu, kombinasi dari semua nilai input parameter juga mempengaruhi model dari nilai parameter yang didapatkan.

Ditinjau dari dari kernel, dua kernel yang memberikan hasil akurasi baik



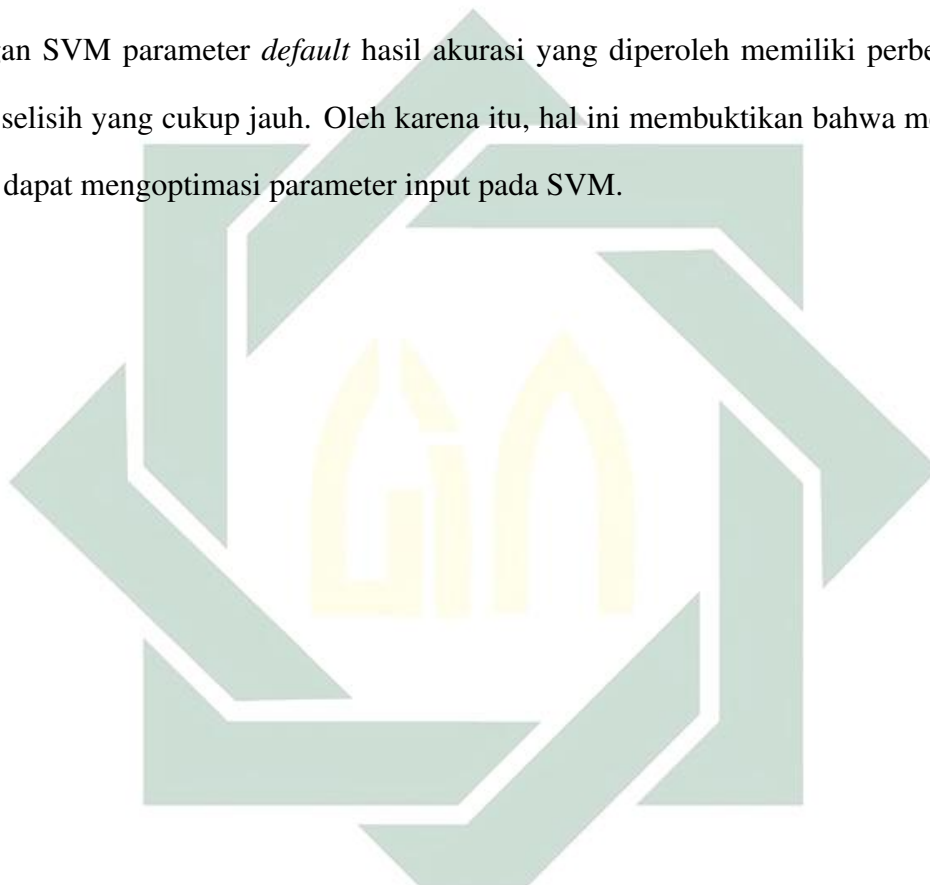








karena terdapat satu data normal yang terklasifikasi tumor. Hasil ini didapatkan dengan pengoptimalan nilai parameter SVM, sehingga didapatkan nilai  $C = 1796.125$ ,  $\gamma = 19.765$ ,  $r = 0.0005$  dan  $d = 6.956$ . Sedangkan waktu komputasi tercepat didapatkan pada FFA-SVM kernel RBF sebesar 0.016 detik, lebih cepat 4.768 detik dari FFA-SVM kernel *polynomial*. Jika dibandingkan dengan SVM parameter *default* hasil akurasi yang diperoleh memiliki perbedaan atau selisih yang cukup jauh. Oleh karena itu, hal ini membuktikan bahwa metode FFA dapat mengoptimasi parameter input pada SVM.





sebanyak 100 iterasi. Jika berdasarkan waktu komputasi, kernel RBF merupakan kernel terbaik dengan waktu komputasi sebesar 0.016 detik, lebih cepat 4.768 detik dari FFA-SVM kernel *polynomial*. Nilai kombinasi parameter yang didapatkan pada kernel RBF adalah  $C = 1874.654$  dan  $\gamma = 19.191$  pada iterasi sebanyak 100 iterasi.

## 5.2. Saran

Penelitian mengenai klasifikasi tumor otak menggunakan FFA-SVM masih memiliki banyak kekurangan. Oleh karena itu peneliti menyarankan beberapa hal untuk perbaikan dan pengembangan penelitian selanjutnya, yaitu dilakukan proses perbaikan citra dengan metode lain, seperti *skull removal* untuk menghilangkan batas putih pada citra otak. Oleh karena itu, area yang didapatkan hanya area yang diamati. Hal ini memungkinkan untuk mendapatkan hasil sistem yang jauh lebih baik.



- Arif, R. B., Khan, M. M., and Siddique, M. A. (2018, November 23). Digital Image Enhancement in Matlab: An Overview on Histogram Equalization and Specification. *International Conference on Innovation in Engineering and Technology (ICIET)*
- Arora, S., and Singh, S. (2013, May ). The Firefly Optimization Algorithm: Convergence Analysis and Parameter Selection. *International Journal of Computer Applications*, 69(3), 48-52.
- Bengio, Y., dan Grandvalet, Y. (2004). No unbiased estimator of the variance of k-fold cross-validation. *Journal of machine learning research*, 5(Sep), 1089-1105.
- Benson, Deepa, Lajish, and Rajamani, K. (2016, September). Brain Tumor Segmentation from MR Brain Images using Improved Fuzzy c-Means Clustering and Watershed Algorithm. *IEEE*, 187-192.
- Cancer Support Community. (2013). *Frankly Speaking About Cancer: Brain Tumors*. Cancer Support Community Press.
- Crum, C. P., Lester, S. C., dan Cotran, R. S. (2007). *Sistem Genitalia Perempuan dan Payudara* (7 ed., Vol. 2). Jakarta: EGCss Pre.
- Salamah, E. N. (2018). *Identifikasi Tumor pada Otak Menggunakan Discrete Wavelet Transform (DWT) dan Artificial Neural Network (ANN)*. Undergraduate Thesis. UIN Sunan Ampel Surabaya.
- Estlin, E., and Lowis, S. L. (2005). *Central Nervous System Tumours of Childhood*. London: Mac Keith Press.
- Foady, A. Z., Novitasari, D. C., and Asyhar, A. H. (2018, October). Automated



- Diagnosis System of Diabetic Retinopathy Using GLCM Method and SVM Classifier. *Proceeding of EECSI*, 154-160.
- Fletcher, T. (2008). *Support Vector Machines Explained*. University College London Press.
- Gadkari, D. (2000). *Image Quality Analysis Using GLCM*. B.S.E.E. University of Pune.
- Hall-Beyer, M. (2017). *GLCM Texture: A Tutorial*. Canada: University of Calgary.
- Harafani, H., dan Wahono, R. S. (2015, Desember). Optimasi Parameter pada SVM Berbasis Algoritma Genetika untuk Estimasi Kebakaran Hutan. *Journal of Intelligent System*, 01(2), 82-90.
- Heranurweni, S., Destyningtias, B., dan Nugroho, A. K. (2018). Klasifikasi Pola Image pada Pasien Tumor Otak Berbasis Jaringan Syaraf Tiruan ( Studi Kasus Penanganan Kuratif Pasien Tumor Otak). *eLEKTRIKAL*, 10(2), 37-40.
- Jakkula, V. (2006). *Tutorial on support vector machine (SVM)*. School of EECS, Washington State University.
- Johari, N. F., Zain, A. M., Mustaffa, N. H., and Udin, A. (2013). Firefly Algorithm for Optimization Problem. *Applied Mechanics and Materials*, 421, 512-517.
- Karuna, M., and Joshi, A. (2013, Oktober). Automatic Detection and Severity of Brain Tumors Using GUI in Matlab. *International Journal of Research in Engineering and Technology*, 02(10), 586-594.
- Kesehatan, P. D. (2015). *Situasi Penyakit Kanker*. Jakarta: Kementerian Kesehatan RI.

- Kumari, N., and Saxena, S. (2018). Review of Brain Tumor Segmentation and Classification. *IEEE*, 1-6.
- Lang, R., Zhao, L., and Jia, K. (2016). Brain Tumor Image Segmentation Based On Convolution Neural Network. *IEEE*, 1402-1406.
- Larroza, A., Bodí, V., and Moratal, D. (2016). Texture Analysis in Magnetic Resonance Imaging: Review and Considerations for Future Application. *INTECH*, 85-88.
- Mathew, R., and Anto, D. B. (2017, Juli). Tumor Detection and Classification of MRI Brain Image Using Wavelet Transform and SVM. *IEEE*, 75-78.
- Maulana, I., Andono, P. N., Studi, P., Informatika, T., Komputer, F. I., dan Nuswantoro, U. D. (2016). Analisa Perbandingan Adaptif Median Filter Dan Median Filter Dalam Reduksi Noise Salt and Pepper. 2(2), 157–166.
- Mohanaiah, P., Sathyanarayana, P., and GuruKumar, L. (2013, May). Image Texture Feature Extraction Using GLCM Approach. *International Journal of Scientific and Research Publications*, 3(5), 1-5.
- Murthy, D., and G.Sadashivappa. (2014). Brain Tumor Segmentation Using Thresholding, Morphological Operations And Extraction Of, Features Of Tumor. *IEEE*, 1-6.
- Nanda, M. A., Seminar, K. B., Nandika, D., and Maddu, A. (2018). A Comparison Study of Kernel Functions in the Support Vector Machine and Its Application for Termite Detection. *Information*, 9(5), 1-14.
- McLean, Radha. *The Essential Guide to Brain Tumors*. San Francisco, California: Modern Litho-Print Company.

- Novitasari, D. C., Lubab, A., Sawiji, A., and Asyhar, A. H. (2019). Application of Feature Extraction for Breast Cancer using One Order Statistic, GLCM, GLRLM, and GLDM. *Advances in Science, Technology and Engineering Systems Journal*, 4(4), 115-120.
- Navin, M., and Pankaja. (2016, December). Performance Analysis of Text Classification Algorithms Using Confusion Matrix. *International Journal of Engineering and Technical Research (IJETR)*, 6(4), 75-78.
- Nugroho, A. S., Witarto, A. B., and Handoko, D. (2003). Support Vector Machine (Teori dan Aplikasinya dalam Bioinformatika). *Proceeding of Indonesian Scientific Meeting in Central Japan*. Gifu-Japan: IlmuKomputer.Com.
- Oemiati, R., Rahajeng, E., dan Kristanto, A. Y. (2011). Prevalensi Tumor dan Beberapa Faktor yang Mempengaruhinya di Indonesia. *Buletin Peneliti Kesehatan*, 39(4), 190-204.
- Parveen, and singh, A. (2015). Detection of Brain Tumor in MRI Images, using Combination of Fuzzy C-Means and SVM. *International Conference on Signal Processing and Integrated Networks (SPIN)*, 98-102.
- Patel, O., Maravi, Y. P., and Sharma, S. (2013, October). A Comparative Study Of Histogram Equalization Based Image Enhancement Techniques For Brightness Preservation And Contrast Enhancement. *Signal and Image Processing : An International Journal (SIPIJ)*, 4(5), 11-25.
- Perdana, A. (2017, April). Analisis Komparasi Genetic Algorithm dan Firefly Algorithm pada Permasalahan Bin Packing Problem. *Jurnal dan Penelitian Teknik Informatika*, 1(2), 1-6.

- Pragathi, J., Patil, H. T. (2013). Segmentation Method for ROI Detection in Mammographic Images using Wiener Filter and Kittler's Method. *International Journal of Computer Applications*, 27–33.
- Saleh, E. (2016). *Neoplasma*. Yogyakarta: Universitas Muhammadiyah Yogyakarta.
- Santi, C. N. (2011, Januari). Mengubah Citra Berwarna Menjadi GrayScale dan Citra biner. *Jurnal Teknologi Informasi Dinamik*, 16(1), 14-19.
- Santra, A. K., and Christy, C. J. (2012, January). Genetic Algorithm and Confusion Matrix for Document Clustering. *IJCSI International Journal of Computer Science*, 9(1), 322-328.
- Satrio, E. P. (2016). *Klasifikasi Tenun Menggunakan Metode K-Nearest Neighbour Berdasarkan Gray Level Co-Occurrence Matrices (GLCM)*. Semarang: Universitas Dian Nuswantoro.
- Sebastian, B., Unnikrishnan, A., and Balakrishnan, K. (2012, April). Grey Level Co-Occurrence Matrices: Generalisation and Some New Features. *International Journal of Computer Science, Engineering and Information Technology (IJCEIT)*, 2(2), 151-157.
- Sehgal, A., Goel, S., Mangipudi, P., Mehra, A., and Tyagi, D. (2016, Juni). Automatic Brain Tumor Segmentation And Extraction In MR Images. *IEEE*, 104-107.
- Sharma, A., Zaidi, A., Singh, R., Jain, S., and Sahoo, A. (2013). Optimization of SVM Classifier Using Firefly Algorithm. *IEEE*, 198-202.
- Singh, R. P., and Dixit, M. (2015). Histogram Equalization: A Strong Technique

- for Image Enhancement. *International Journal of Signal Processing, Image Processing and Pattern Recognition*, 8(8), 345-352.
- Sinha, T. (2018, May 1). Tumors : Benign and Malignant. *Cancer Therapy and Oncology International Journal*, 10(3), 1-3.
- Suhag, S., and Saini, L. M. (2015, Juli). Automatic Detection of Brain Tumor by Image Processing in Matlab. *International Journal of Advances in Science Engineering and Technology*, 03(3), 114-117.
- Suyanto. 2005. *Algoritma Genetika dalam MATLAB*. Penerbit ANDI. Yogyakarta.
- Tim Dosen. (2016). *Pengolahan Citra*. Jakarta: Universitas Mercu Buana.
- Virupakshappa, and Amarapur, D. B. (2017). An Automated Approach for Brain Tumor Identification using ANN Classifier. *IEEE*.
- Wahyudi, E., Triyanto, D., dan Ruslianto, I. (2017). Identifikasi Teks Dokumen Menggunakan Metode Profile Projection dan Template Matching. *Jurnal Coding, Sistem Komputer Untan*, 03(2), 1-10.
- Wong, T. T. (2015). Performance evaluation of classification algorithms by k-fold and leave-one-out cross validation. *Pattern Recognition*, 48(9), 2839-2846.
- Yang, X. S. (2009). Firefly Algorithms for Multimodal Optimization. *Lecture in Computer Science*, 5792, 169-178.
- Yang, Xin-She and He, Xingshi. (2013). Firefly Algorithm: Recent Advances and Applications. *Int. J. Swarm Intelligence*, 1(01), 36-50.
- Zulpe, N., dan Pawar, V. (2012). Glcm Textural Features For Brain Tumor Classification. *International Journal Of Computer Science*, 9(3), 354–359.